

NORMAL DAYANIMLI BETON MOD-I ELEMANLARINDA BOYUT ETKİSİ

Varol KOÇ

Ondokuz Mayıs Üniversitesi, Müh. Fakültesi, İnşaat Müh. Bölümü 55139 Kurupelit, Samsun
kvarol@omu.edu.tr

ÖZET: Normal dayanımlı betondan hazırlanan mod-I elemanlarında boyut etkisini incelemek amacıyla, konsol eksenlerine paralel doğrultuda basınç yükleriyle yüklenmişlerdir. Numunelere, c konsol genişliği olmak üzere, $e=c/5$ ve $e=c/10$ dışmerkezliklerine sahip, basınç yüklemesi uygulanmıştır. Deney elemanları, kalınlık sabit, diğer iki boyutta geometrik olarak benzer ve benzerlik oranları 1:2:4 olacak şekilde, $t=30, 40$ ve 50 mm kalınlıklarında üç ayrı seride üretilmiştir. Her seriden, iki farklı dışmerkezlikle yüklenmek üzere ikişer adet, bu serilerdeki her bir elemandan da üçer adet hazırlanmıştır. Her bir seride 9, üç seride 27 olmak üzere, iki farklı dışmerkezlikle yüklenen toplam 54 adet deney elemanı üretilmiş ve denenmiştir. Her deneyde bir düşey ve iki yatay olmak üzere üç yerdeğiştirme ölçülmüş, konsol uçlarındaki yatay yerdeğiştirmelerin toplanmasıyla yatay açılma değerleri elde edilmiştir. Deney sonuçlarının boyut etkisi analizleri yapılarak boyut etkisi parametreleri bulunmuş, logaritmik eksen takımlı boyut etkisi eğrileri çizilmiştir. Yük- yatay yerdeğiştirme eğrilerinden yararlanarak her numunenin enerji yutma kapasitesi hesaplanmıştır.

Anahtar Kelimeler: Kırılma mekaniği, beton boyut etkisi, mod-I göçmesi, çift konsol elemanı

Size Effect For Mod-I Element Of Normal Strength Concrete

ABSTRACT: Mod-I elements which produced from normal strength concrete are tested under eccentric compressive loads parallel to the cantilever axes. Loads are applied having eccentricities of $e=c/5$ and $e=c/10$ eccentric where c is cantilever width. Specimens are produced having $t=30, 40$ and 50 mm in constant thickness, three different series and geometrically similar in other two dimensions with the ratio of 1:2:4. Each series have two different specimens to be loaded with two different load eccentricity and each element in each series are prepared as three units. Each series include 9 elements and three series include 27 elements. Total of 54 units specimens are produced and tested for two different load eccentricity. Two horizontal and one vertical displacements are measured at each experiment and opening displacements are obtained for adding to horizontal displacements for each cantilever ends. Test results are analysed by size effect and the parameters of size effect are found by drawing bi-logarithmic graphics for each series. Energy absorbed capacities are obtained for each specimen by utilizing from the load- horizontal displacement curve.

Key words: Fracture mechanic, concrete size effect, mod-I failure, double cantilever beams

GİRİŞ

Kırılma, bir malzemenin mekaniksel, fiziksel veya herhangi başka bir dış etkiden dolayı direncinin kaybolması şeklinde tanımlanır. Leonardo da Vinci, kırılma olgusunu araştıran ilk araştırmacıdır. Farklı uzunluklardaki teller

üzerinde kırılma mukavemetinin değişimini incelemiştir. O günden beri malzemelerin kırılma davranışını anlamak için birçok çalışma yapılmıştır. Anderegg, cam çubuklar ve fiberler üzerinde numune boyutunun etkisini araştırmak için deneyler yapmıştır (Anderegg, 1939). Weibull boyut etkilerinin malzemedeki içsel

çatlaklar dolayısıyla olduğunu göstermek amacıyla istatistiksel teknikler kullanmıştır (Weibull, 1939). Yine aynı dönemlerde, Lloyd ve Hodkinson, demir çubuklar üzerinde boyut etkisini incelemiştir (Todhunter ve Pearson, 1986).

Kompozit bir malzeme olan beton, yarı gevrek bir malzeme olup, yalnızca plastik ya da elastik teoriyle davranışının açıklanması pek gerçekçi değildir. Kırılma mekanlığında en önemli konulardan birisi, yapı elemanını oluşturan malzeme ve eleman davranışının, birbirinden bağımsız olarak düşünülemeyeceğidir. Ancak, yapı ile malzeme davranışları arasındaki bu etkileşim yeterince göz önünde tutulmamıştır. Kırılma mekanlığında, malzeme davranışının, sadece gerilme ve birim yerdeğiştirme cinsinden tanımlanması gerçekçi bulunmaz. Kırılma mekanığı, yapı elemanında göçmenin yayılmasını göz önüne alan, malzeme dayanımına bağlı enerji kriterleri kullanan bir göçme teorisidir. Her yapı elemanı içinde mikro çatlaklar vardır ve göçme, gerilmeler altında bu çatlakların birbirleriyle birleşmesi sebebiyle oluşur. Çatlak gelişimi enerji gerektirir ve kırılma mekanığı bunu dikkate alır. Geometrik olarak benzer yapıların göçme gerilmesi, boyut arttıkça azalır. Dayanım kriterlerine (klasik gerilme analizlerine) göre, farklı boyutlardaki nominal gerilme değişmezken, göçme davranışı, boyut etkisi içeren kırılma mekanığı kriterleri ile, daha gerçekçi olarak gösterilebilir. Kırılma mekanlığının beton için uygulanmasının gerekliliğini gösteren nedenlerden biri de, beton ve betonarme elemanlarla yapılan deneylerde, boyut etkisinin gözlenmiş olmasıdır.

Plastik limit analizdekiin tersine, gevrek ve yarı gevrek malzemeden oluşan yapı elemanlarının göçmesinde daima boyut etkisi beklenir. En kuvvetli boyut etkisi lineer elastik kırılma mekanlığında (LEKM) oluşur ki, burada malzeme göçmesi herhangi bir zamanda sadece bir noktada, çatlak tepesinde oluşarak kesit boyunca hareket eder. Beton gibi yarı gevrek malzemede göçme, yapı boyutundan bağımsız sonlu boyutlu kırılma bölgesinde oluşur. Bu nedenle de boyut etkisi gözlenir. Çünkü büyük yapı elemanlarında kırılma bölgesi kesitin küçük bir kısmını kaplar yani göçme yerelleşir ve davranış, nokta göçmesi olan LEKM 'ne yaklaşır.

Küçük yapı elemanlarında, örnek olarak laboratuar numunelerinde kırılma bölgesi kesitin büyük kısmını kaplar ve göçme davranışını plastik limit analize yakındır; yani göçme yüzeyinin çoğunda dayanım aynı anda asılır. Geometrik olarak benzer yapı elemanları için nominal gerilme yapı boyutuna bağlı olduğundan, küçük yapı elemanlarında plastik limit analiz, büyük yapı elemanlarında LEKM geçerlidir. Nominal dayanıma bağlı olarak, doğrusal olmayan kırılma mekanığı (boyut etkisi) analizleri yapılabilir. Gözlenen boyut etkisi, plastik limit analizden, LEKM 'ne geçiş gösterir.

Yürürlükteki yönetmeliklerde boyut etkisi göz önüne alınmamaktadır. Günümüzde kırılma mekanlığının betona uygulanması çalışmaları önem kazanmaktadır. Hawkins, ACI yönetmeliklerinde kırılma mekanığı teorilerinin kullanılmasının gerekli olduğunu 20 yıl önce açıklamıştır (Hawkins, 1984). Son dönemlerde ACI yönetmeliği (ACI Committee 446, 1992) kırılma mekanığı üzerine oturtulmaya çalışılmıştır.

Beton kırılma mekanığıyle ilgili son dönemde literatüründeki bazı çalışmalar şunlardır: Darbe etkisi testlerinde kayma gerilmeleriyle yüzey kabuğunun göçmesinde (Bazant ve Cao, 1987), çift taraflı zimbalama etkisine maruz silindir numunelerde (Marti, 1989), kiriş boyuna donatılarının spiral sargılı ve sargsız aderans eki deneylerinde (Şener ve diğerleri, 1999b), merkezi yüklü normal dayanımlı beton kolonlarda (Şener ve diğerleri 1999a), normal ve yüksek dayanımlı betonarme kirişlerde basınç göçmesi deneylerinde (Ozbolt ve diğ. 2000), cam liflerle güçlendirilmiş seramik malzemeden yapılmış çubukların üç ve dört nokta yüklemesinde (Fischer ve diğ. 2002), boyut etkisini incelemiştir. Eksenel basınç gerilmesine maruz silindir çimento harcı numunelerinde çatlak gelişiminin X işinlarıyla izlenmesi ve üç boyutlu analizi yapılmıştır (Landis ve Edwin, 2000). Ayrıca lifli, hafif ve normal betondan üretilmiş çift konsol deney numunelerine basınç yüklemesi yapılarak boyut etkisi araştırılmıştır (Koç ve Şener, 2003a; 2003b; 2004).

Kırılma mekanlığında çift konsol deney elemanları, klasik olarak açılma modu (mod I) parametrelerini belirlemek amacıyla kullanılır.

Bu nedenle mod I deney elemanı olarak da isimlendirilebilir. Açılmış göçmesi elde edebilmek için, bu elemanların konsol uçlarına yanal çekme kuvvetleri uygulanır. Bu çalışmada, aynı elemana, konsol eksenlerine paralel doğrultuda basınç yüklemesi uygulanmış, basınç yükünün oluşturduğu momentle açılma göçmesi elde edilmiştir. Basınç yükünü iki farklı dış merkezlikte uygulayarak da sonucun göçme yüklerine etkisi incelenmiştir. Bu çalışma, daha önce araştırılmamış olan, çift konsol beton elemanında boyut etkisinin varlığını, beton elemanlar için önemli bir yükleme durumu olan basınç yüklemesi altında ortaya koyması bakımından önemlidir.

TEORİK ESASLAR

Araştırmalar sonucu iki ve üç boyutlu geometrik olarak benzer, beton gibi heterojen malzemeden yapılmış yapıların gevrek göçmeleri için Bazant tarafından çıkarılan boyut etkisinin yaklaşık ifadesi aşağıdaki şekilde verilebilir (Bazant ve Planas 1998):

$$\sigma_N = \frac{Bf_t}{\sqrt{1-\beta}} \quad [1]$$

$$\beta = \frac{D}{D_0} \quad [2]$$

Bu eşitliklerde; σ_N : göçmedeki nominal gerilme, B: yapı elemanın biçimine bağlı boyutsuz bir katsayı, f_t : betonun çekme dayanımı, β : gevreklik katsayıları, D: yapı elemanın karakteristik boyutu, D_0 : gevrek ve gevrek olmayan davranış arasında geçiş gösteren uzunluk boyutunda bir katsayı olarak verilmiştir.

D_0 parametresi, boyut etkisi eğrisinde, geometrik olarak yatay asimptot (dayanım teorisine karşı gelen) ile eğimli asimptotun (LEKM'ne karşı gelen) kesim noktasından sapmayı verir. D_0 parametresi ve elde edilen gevreklik oranı, uygulanan deneyeyle (eleman şekli, boyutu ve yükleme durumu) yakından ilişkilidir. Geometrik olarak benzer numunelerde B ve D_0 sabittir. Eğer $\log \sigma_N$ in $\log D$ 'ye göre grafik gösterimi yapılsa (boyut etkisi eğrisi),

herhangi bir göçme kriterine (emniyet gerilmeleri yöntemi veya taşıma gücü yöntemi) göre hesap dayanımı, yatay bir çizgi olarak verilir. Taşıma gücü ve emniyet gerilmeleri yöntemleri arasındaki tek fark, yatay çizginin düzeyindedir. LEKM için, göçme eğrisi tümüyle farklıdır. Bütün LEKM çözümlerinde σ_N değeri, $D^{1/2}$ değeri ile ters orantılıdır. LEKM' nin logaritmik gerilme-boyut eksenlerinde gösterimi, eğimi $-1/2$ olan bir doğrudur.

Eğer yapı çok küçük ise [1] denkleminde β değeri, 1'in yanında çok küçük olduğundan göz önüne alınmayabilir. Bu durumda σ_N göçme gerilmesi, D dayanımı ile orantılıdır ve gerilme hesabında, plastik kuram veya emniyet gerilmeleri yöntemi yeterlidir. Eğer yapı elemanı çok büyük olursa, 1 değeri β 'nın yanında göz önüne alınmaz. σ_N göçmedeki nominal gerilme, $D^{1/2}$ değeri ile ters orantılıdır. Geçmişte çoğu göçme ölçütü (eğilme, kesme, çekme), dayanım ölçütüne göre (β ihmäl edilerek) yapılırken, günümüzde, boyut etkisini içeren bağıntıları verecek araştırmalar devam etmektedir. [1] denklemi, yalnız aynı betondan yapılmış ve aynı en büyük agrega boyutunu içeren yapılara uygulanabilir.

DENEYSEL ÇALIŞMALAR

Deney malzemesi

Çift konsol deney elemanlarının üretiminde kullanılan normal beton karışım oranları, çimento/çakıl/kum/su oranı 1/2/2/0.55 olarak alınmış, Portland Kompoze Çimentosu (PKÇ/B 32.5R) ve Kızılırmak nehrinden elde edilen doğal agrega kullanılmıştır. Karışımında en büyük agrega çapı 9,5 mm, en büyük kum çapı 4,8 mm'dir. Beton karışım oranları, Çizelge 1'de verilmiştir. Betonun basınç dayanımlarını elde etmek için 3 adet 150x300 mm boyutlarında kontrol silindiri dökülmüşür. Silindir basınç deneylerinden elde edilen dayanım ve standart sapma değerleri, Çizelge 2' de verilmiştir. Bütün numuneler, olası dağılım etkilerini en aza indirmek amacıyla aynı karışımından dökülmüş ve bakım havuzunda 28 gün bekletilmişlerdir.

Çizelge 1. Beton karışım oranları.
(Mixture proportions of concrete)

| Çimento kg/m ³ | Su Kg/m ³ | Kum kg/m ³ | Çakıl kg/m ³ | Çelik lif kg/m ³ |
|------------------------------|-------------------------|--------------------------|----------------------------|--------------------------------|
| 414 | 228 | 829 | 829 | 70 |

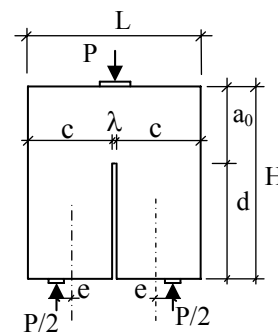
Çizelge 2. Silindir basınç dayanımları.
(Pressure strengths of cylinder)

| Silindir No | Göçme Yüüğü (kN) | Dayanım (MPa) | Ortalama Dayanım (MPa) | Standart Sapma (MPa) | Varyasyon Katsayısı |
|----------------|------------------------|------------------|---------------------------|-------------------------|------------------------|
| 1 | 659 | 37,31 | | | |
| 2 | 536 | 30,35 | 30,76 | 5,19 | |
| 3 | 435 | 24,63 | | | 0,169 |

Numunelerin üretilmesi

Çift konsollar beton eleman ortasında açılan derin çentiklerle elde edilmiştir. Çentikler, kalıplara, beton dökümü sırasında yerleştirilen ve ön prizden sonra sökülen yağılanmış plastik parçalarla yapılmıştır. Kalıplar, kalıbin su emmesini önlemek amacıyla playwood malzemeden hazırlanmıştır. Kalıp parçaları, birbirine vidalı birleşimlerle tutturulmuş, böylece elemanların kalıptan çıkarılması ve kalıpların tekrar oluşturulması kolaylaşmıştır. Her bir kalıp sistemi, birbirinin aynı olan üç elemanı verecek şekilde tasarlanmıştır. Normal dayanıklı betondan hazırlanan numuneler üç farklı seride dökülmüştür. Betonun kalıplara yerleştirilmesi, betonun kalıp içine boşluksuz yerleşmesini sağlamak amacıyla, masa vibratörü üzerinde olmuş, eleman dökümleri üç kademe halinde yapılarak, her kademedede 10-15 saniye vibrasyon uygulanmıştır. Numune kalınlıkları (t), A serisinde 30 mm, B serisinde 40 mm, C serisinde 50 mm olarak alınmıştır. Farklı kalınlıklı serilerin üretilme nedeni, her bir ayrı kalınlığa ait seride, boyut etkisinin araştırılmasıdır. Her seri, c konsol genişliği olmak üzere, konsol ekseninden konsol dış yüzüne doğru, $e=c/10$ ve $e=c/5$ dışmerkezlikleriyle ayrı ayrı yüklenmiştir. Böylece, farklı dışmerkezlige ait yüklenme durumları için de ayrı ayrı boyut etkisi

araştırılmıştır. Numuneler, P başlangıç harfi ile simgelenmiştir. $e=c/10$ dışmerkezliğiyle yüklenen numuneler, seri harfinden sonra, 0 rakamı kullanılarak gösterilmiştir. Geometrik olarak benzer elemanlarda, numune boyutu bir numuneden diğerine 2 çarpanı ile büyütülerek değiştirilmiştir. Böylece en büyükten en küçüğe numune boyutları oranı, 4 : 2 : 1 şeklinde alınmıştır. Bu sayede, üç seri arasında ve seriler içinde basınç yüklemesi altında boyut etkisi incelenebilmiştir. Şekil 1 ve Çizelge 3' de, numune boyutları gösterilmiştir. Numunelerin en küçük boyutu, betonun kaliba boşluksuz yerleşimini sağlamak amacıyla, en büyük iri agrega boyutunun yaklaşık üç katından büyük olacak şekilde, 3cm olarak seçilmiştir (TS500, 2000).



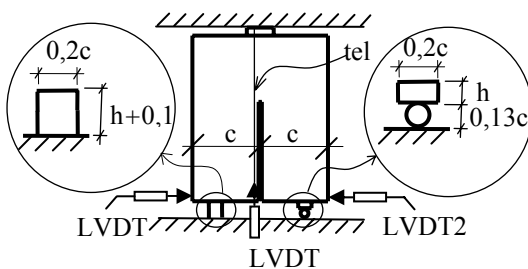
Şekil 1. Çift konsol elemanı.
(Double cantilever beams element)

Çizelge3. Çift konsol boyutları.
(Dimensions of double cantilever beams element)

| NUMUNE | | H (mm) | L (mm) | d (mm) | a ₀ (mm) | c (mm) | t (mm) | ∅ (mm) | e=c/5 (mm) | e=c/10 (mm) |
|----------|----------|--------|--------|--------|---------------------|--------|--------|--------|------------|-------------|
| A SERİSİ | A1,A2,A3 | 300 | 260 | 120 | 180 | 127,5 | 30 | 5 | 25,5 | 12,8 |
| | A4,A5,A6 | 150 | 130 | 60 | 90 | 62,5 | 30 | 5 | 12,5 | 6,3 |
| | A7,A8,A9 | 75 | 65 | 30 | 45 | 30,0 | 30 | 5 | 6,0 | 3,0 |
| B SERİSİ | B1,B2,B3 | 400 | 340 | 160 | 240 | 167,5 | 40 | 5 | 33,5 | 16,8 |
| | B4,B5,B6 | 200 | 170 | 80 | 120 | 82,5 | 40 | 5 | 16,5 | 8,3 |
| | B7,B8,B9 | 100 | 85 | 40 | 60 | 40,0 | 40 | 5 | 8,0 | 4,0 |
| C SERİSİ | C1,C2,C3 | 500 | 420 | 200 | 300 | 207,5 | 50 | 5 | 41,5 | 20,8 |
| | C4,C5,C6 | 250 | 210 | 100 | 150 | 102,5 | 50 | 5 | 20,5 | 10,3 |
| | C7,C8,C9 | 125 | 105 | 50 | 75 | 50,0 | 50 | 5 | 10,0 | 5,0 |

Deney yükleme ve ölçüm sistemi

Mesnetlenme sistemi Şekil 2'de, deney düzeneği Şekil 3' de, gösterilmiştir. Deneylerin yapıldığı yükleme çerçevesinde denenebilir numune uzunluğu 80 cm' dir. Bu çerçeve, 4 köşede St-I (S220) çeliğinden L 100.100.10 korniyerle yapılmıştır. Toplam kesit alanı 7600 mm² ve çekme dayanımı 160 MPa olup bu çerçevede uygulanabilecek en büyük yük 1220 kN, ve çerçevenin rıjiti ise 560kN/mm dir. Yüklemeler yük kontrollü yapılmış olup, göçme yüklerine bütün konsollarda 3 dakikada erişilecek biçimde küçük numunelerde piston uzama hızı yavaş, büyük numunelerde hızlı olarak seçilmiştir. Yükler 225 kN kapasiteli yükleme ölçer ile ölçülmüştür. Yük okumaları yanında konsol uçlarında yatay yerdeğiştirme (LVDT1 ve LVDT2) okumaları ile, düşey yerdeğiştirme (LVDT3) okumaları veri toplayıcı ile bilgisayara kaydedilmiştir.



Şekil 2. Mesnetlenme sistemi
(System of supporting conditions)

DENEY SONUÇLARININ ANALİZİ

Denklem [2]' de söz konusu yapı karakteristik boyutu (D) çift konsol numunelerde kırılma bölgesi olan, çentik altı bölge yüksekliği (d) olarak alınmış, denklem [1]' de kullanılan betonun çekme dayanımı (f_t), TS500'ün (TS500, 2000) verdiği bağıntı ile bulunmuştur:

$$f_t = 0.35 \sqrt{f_c} \quad [3]$$

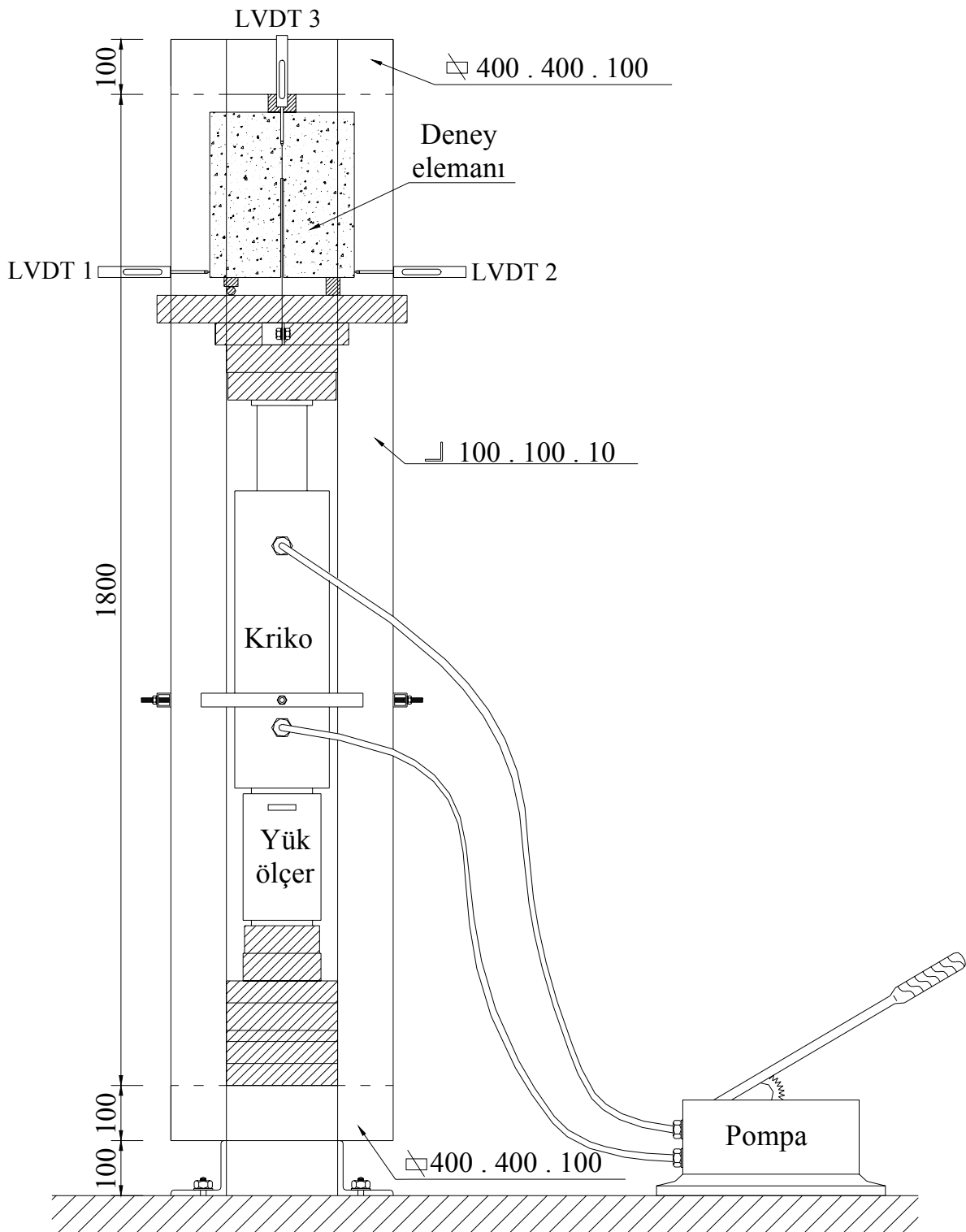
Burada; f_c : beton basınç dayanımı (MPa) olarak verilmiştir. Nominal göçme gerilmesi olarak asal gerilmeler aşağıdaki gibi kullanılmıştır:

$$\textcircled{O} \sigma_N = \frac{\sigma}{2} + \sqrt{\left(\frac{\sigma}{2}\right)^2 + \tau^2} \quad [4]$$

Burada, $\sigma = M/w$, $\tau = PF/St$, $M = P(e + c/2 + \lambda/2)/2$, $w = td^2/6$, $F = td$, $S = td^2/8$ olarak verilmiştir. Söz konusu ifadelerde; \textcircled{O} eğilme gerilmesi, M : yükleme sonucu oluşan moment, w : dayanım momenti, \textcircled{O} kayma gerilmesi, P : basınç yükü olarak yükleme ölçerden okunan değer, F : çift konsol elemanı çentik üstü böge kesit alanı, S : statik moment, t : eleman kalınlığı, e : yükün konsol ekseninden dışmerkezligi, \textcircled{O} : konsollar arası mesafe (çentik genişliği), c : konsol genişliği, d : çift konsol elemanda çentik üstü bölge yüksekliğini göstermektedir.

Deney elemanlarının ölçülen göçme yükleri Çizelge 4' de, yük-yatay yerdeğiştirme eğrileri Şekil 4'de, yük-düşey yerdeğiştirme eğrileri Şekil 5' de verilmiştir. Her numunenin yük-

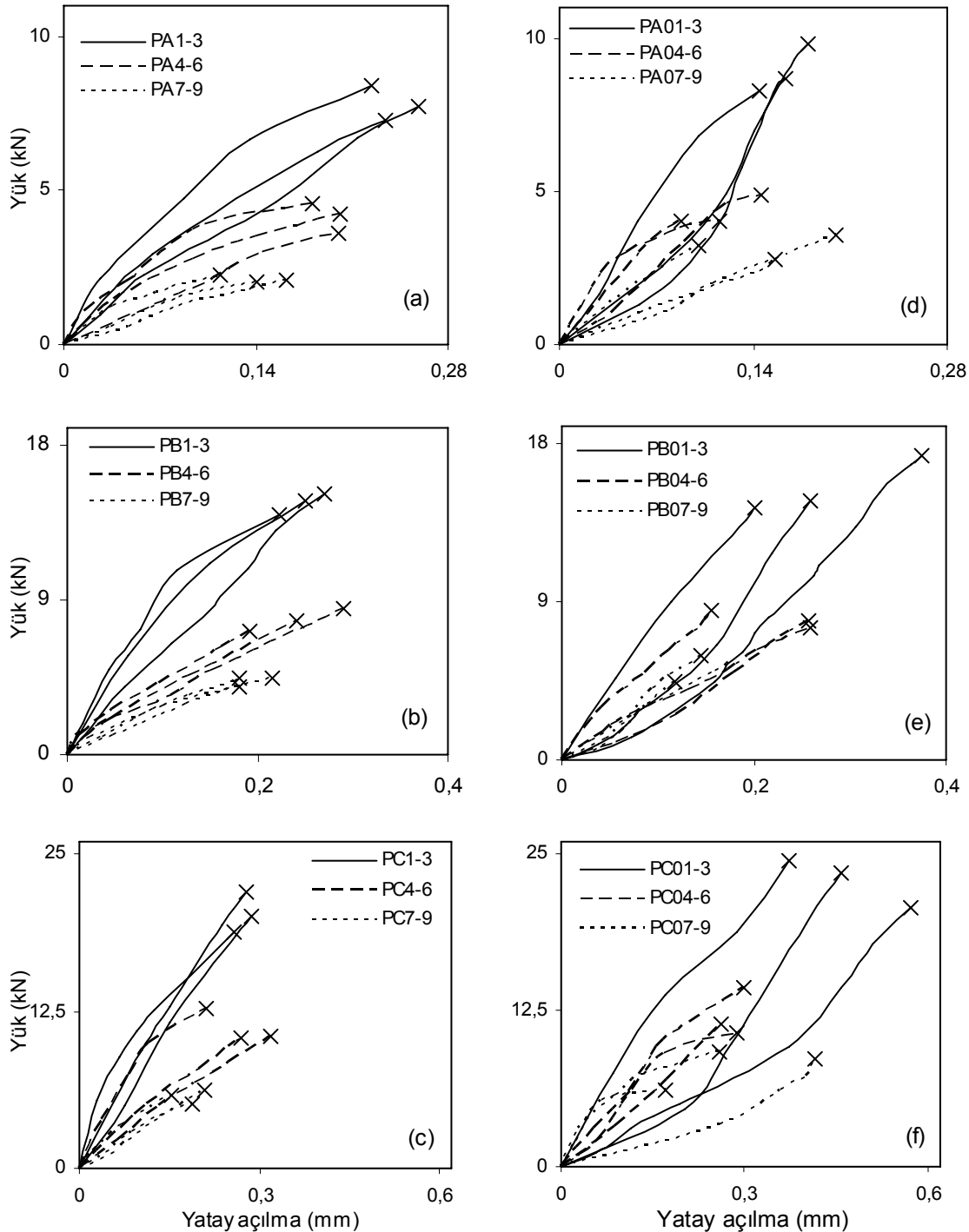
yatay yerdeğiştirme eğrileri altında kalan alanlardan bulunan enerji yutma kapasiteleri ile bu değerlere ait standart sapma ve varyasyon katsayıları da Çizelge 4' de verilmiştir.



Şekil 3. Deney düzeneği.
(Tests setup)

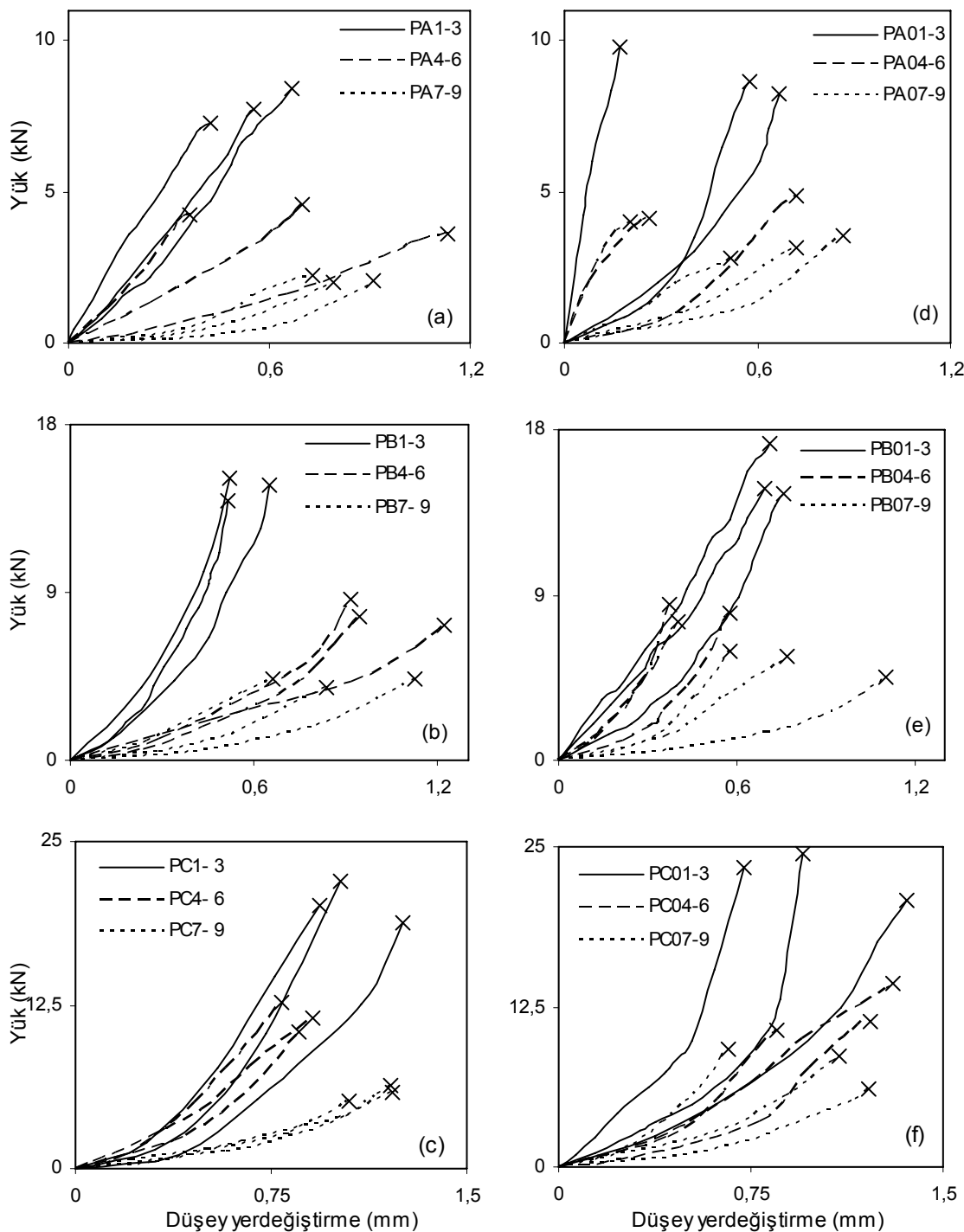
Çizelge 4. Göçme yükleri ve yutulan enerjiler.
(Failure loads and absorbed energies)

| Eleman Adı | Max. Yük kN | Yutulan Enerji kNm | Standart Sapma kN/mm | Varyasyon Katsayısı |
|------------|-------------|--------------------|----------------------|---------------------|
| PA1 | 7,712 | 1,053 | 0,083 | 0,077 |
| PA2 | 7,268 | 0,982 | | |
| PA3 | 8,428 | 1,182 | | |
| PA4 | 4,253 | 0,530 | | |
| PA5 | 4,585 | 0,554 | | |
| PA6 | 3,611 | 0,389 | | |
| PA7 | 2,010 | 0,163 | | |
| PA8 | 2,088 | 0,174 | | |
| PA9 | 2,242 | 0,162 | | |
| PB1 | 13,926 | 1,971 | 0,097 | 0,046 |
| PB2 | 15,155 | 2,119 | | |
| PB3 | 14,723 | 2,207 | | |
| PB4 | 7,191 | 0,777 | | |
| PB5 | 7,732 | 1,021 | | |
| PB6 | 8,505 | 1,352 | | |
| PB7 | 4,430 | 0,442 | | |
| PB8 | 4,407 | 0,514 | | |
| PB9 | 3,943 | 0,408 | | |
| PC1 | 18,789 | 3,062 | 0,104 | 0,034 |
| PC2 | 22,004 | 3,229 | | |
| PC3 | 20,103 | 2,980 | | |
| PC4 | 10,438 | 1,478 | | |
| PC5 | 12,680 | 1,702 | | |
| PC6 | 10,500 | 1,778 | | |
| PC7 | 5,799 | 0,511 | | |
| PC8 | 5,180 | 0,525 | | |
| PC9 | 6,186 | 0,642 | | |
| PA01 | 8,273 | 0,966 | 0,071 | 0,071 |
| PA02 | 8,660 | 0,932 | | |
| PA03 | 9,820 | 1,097 | | |
| PA04 | 4,021 | 0,417 | | |
| PA05 | 4,871 | 0,566 | | |
| PA06 | 4,021 | 0,272 | | |
| PA07 | 2,784 | 0,296 | | |
| PA08 | 3,557 | 0,530 | | |
| PA09 | 3,247 | 0,238 | | |
| PB01 | 14,791 | 2,674 | 0,120 | 0,287 |
| PB02 | 17,32 | 3,862 | | |
| PB03 | 14,372 | 2,163 | | |
| PB04 | 7,555 | 1,429 | | |
| PB05 | 7,964 | 1,522 | | |
| PB06 | 8,505 | 0,966 | | |
| PB07 | 5,954 | 0,568 | | |
| PB08 | 5,644 | 0,760 | | |
| PB09 | 4,485 | 0,314 | | |
| PC01 | 20,722 | 4,850 | 0,335 | 0,075 |
| PC02 | 24,510 | 4,439 | | |
| PC03 | 23,428 | 4,030 | | |
| PC04 | 10,747 | 2,114 | | |
| PC05 | 11,366 | 1,969 | | |
| PC06 | 14,382 | 2,364 | | |
| PC07 | 9,201 | 1,430 | | |
| PC08 | 6,108 | 0,773 | | |
| PC09 | 8,660 | 1,057 | | |



Şekil 4. Yük- yatay açılma eğrileri: $e = c/5$ dışmerkezlikli çift konsol, (a) A serisi, (b) B serisi, (c) C serisi; $e = c/10$ dışmerkezlikli çift konsol, (d) A serisi, (e) B serisi, (f) C serisi

(Load - dehiscence curves: Double cantilever beams of $e = c/5$ eccentric (a) A series, (b) B series, (c) C series; Double cantilever beams of $e = c/10$ eccentric, (d) A series, (e) B series, (f) C series)



Şekil 5. Yük- düşey yerdeğiştirme eğrileri:

$e = c/5$ dışmerkezlikli çift konsol, (a) A serisi, (b) B serisi, (c) C serisi;

$e = c/10$ dışmerkezlikli çift konsol, (d) A serisi, (e) B serisi, (f) C serisi

(Load - vertical displacements curves:

Double cantilever beams of $e = c/5$ eccentric (a) A series, (b) B series, (c) C series;
double cantilever beams of $e = c/10$ eccentric, (d) A series, (e) B series, (f) C series)

Bazant'ın yaklaşık boyut etkisi denklemi [1], farklı regresyon analizleriyle düzenlenebilir (Bazant ve Planas, 1998). Regresyon analizlerinden, bilinmeyen malzeme sabitleri B ve D_0 elde edilebilir. Bu çalışmada, her seri için Lineer I ve Lineer II regresyon analizleri yapılmış ve korelasyon katsayısı yüksek olan analizlere ait B ve D_0 değerleri alınmıştır. Lineer I regresyonunda denklem [5], Lineer II regresyonunda denklem [6] kullanılmıştır.

$$Y = AX + C \quad [5]$$

$$Y' = A'X' + C' \quad [6]$$

Bu denklemlerde

$$X = D, Y = (1/\sigma_N)^2, C = (1/Bf_t)^2,$$

$$A = C/D_0, X' = 1/D, Y' = (1/\sigma_N D)^2,$$

$$A' = (1/Bf_t)^2, C' = A'/D_0 \text{ olarak alınır.}$$

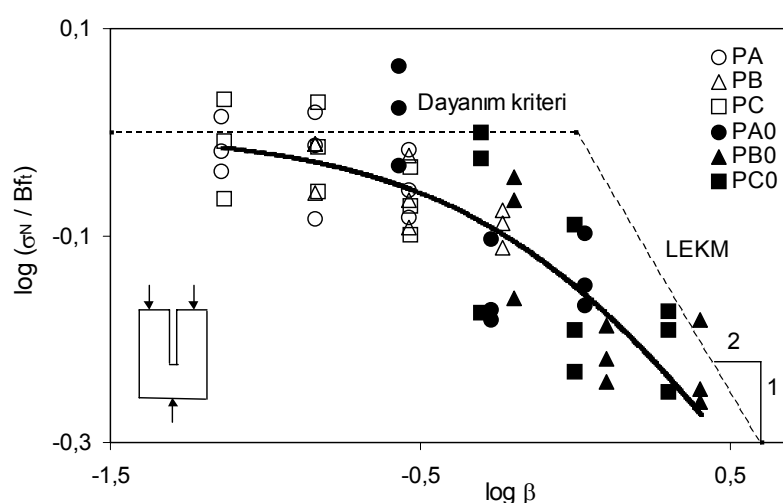
Korelasyon katsayıları yüksek olan lineer regresyon analizlerinden bulunan, her seride ait B ve D_0 katsayıları ile, korelasyon katsayıları (R), Çizelge 5' de verilmiştir. Elde edilen B ve D_0 katsayılarının [1] ve [2] denklemlerinde yerine konulmasıyla, boyut etkisini içeren gerilme formülü bulunur. Denklem [1]' i kullanarak her seri için logaritmik eksen takımında σ_N/Bf_t ve

$\circ=D/D_0$ değerleri gösterilebilir. Tüm serilerin Şekil 6' da ayrı ayrı, Şekil 7'de birlikte boyut etkisi eğrileri gösterilmiştir. Bu eğrilerde kesik çizgi ile gösterilen yatay doğru dayanım kriterini göstermektedir. Dayanım kriterinde eleman dayanımı, değişen boyuta rağmen sabit kalır. Eğimi $-1/2$ olan kesik çizgiyle gösterilen doğru ise, LEKM' ni simgeler. LEKM' de kuvvetli boyut etkisi görülür. Gerçekte beton nominal dayanımı, bu iki ideal durum arasındadır. Eleman boyutları büyükçe ve gevreklik arttıkça, LEKM' ne yaklaşılır.

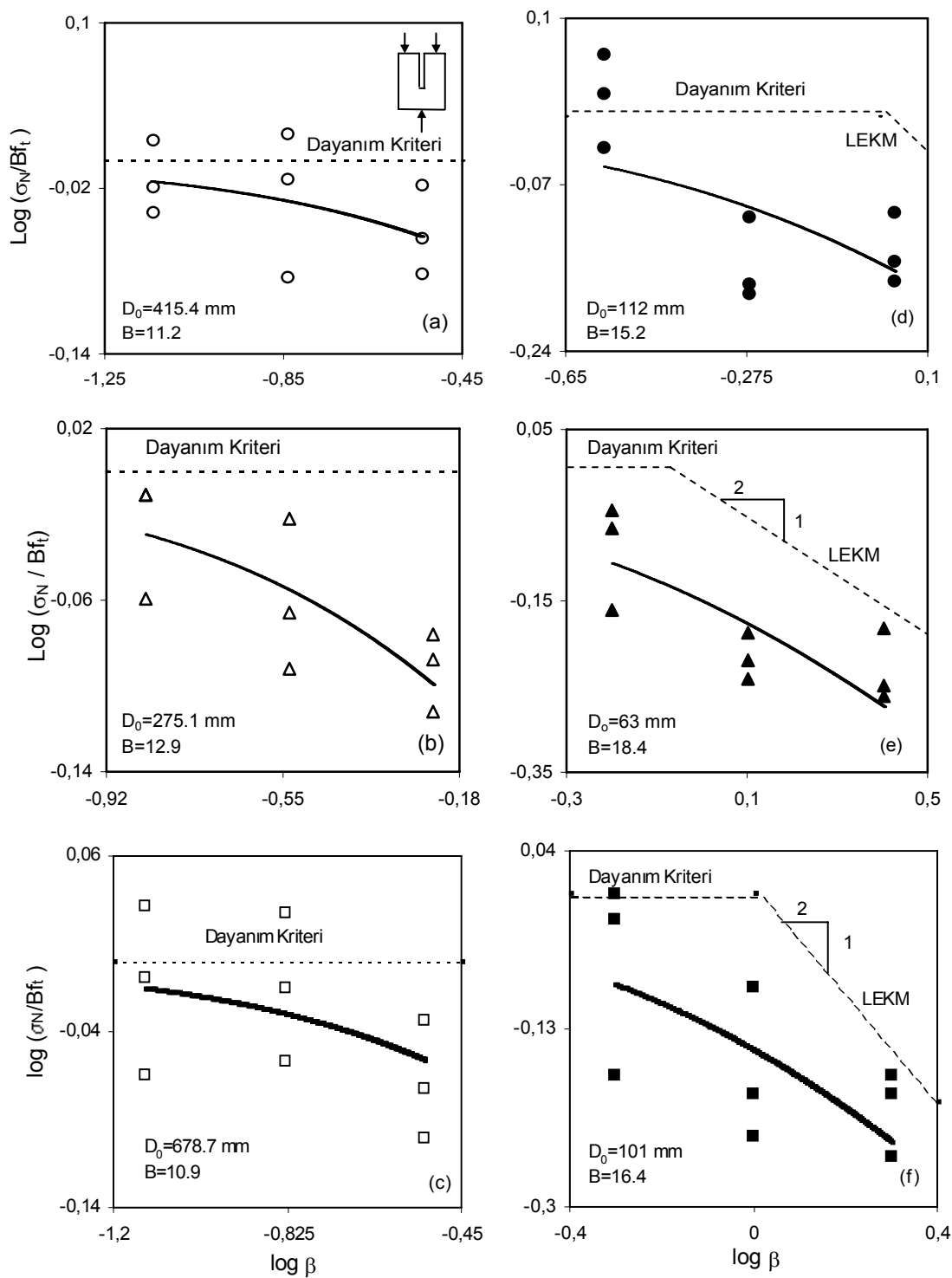
Çizelge 5. Korelasyon katsayıları ve malzeme sabitleri

(Correlation coefficient and constants of material)

| Deney serileri | Alınan analiz | Katsayılar | | |
|----------------|---------------|------------|------|------------|
| | | r | B | D_0 (mm) |
| PA | Lineer-II | 0,96 | 11,2 | 415,4 |
| PB | Lineer-II | 0,96 | 12,9 | 275,1 |
| PC | Lineer-II | 0,92 | 10,9 | 678,7 |
| PA0 | Lineer-I | 0,61 | 15,2 | 111,7 |
| PB0 | Lineer-II | 0,73 | 18,4 | 63,2 |
| PC0 | Lineer-II | 0,63 | 16,4 | 100,6 |



Şekil 6. Toplam boyut etkisi
(Collected size effect curve)



Şekil 7. Boyut etkisi eğrileri: e = c/5 dışmerkezlikli çift konsol (a) A serisi, (b) B serisi, (c) C serisi; e = c/10 dışmerkezlikli çift konsol (d) A serisi, (e) B serisi, (f) C serisi

(Size effect curves: Double cantilever beams of $e = c/5$ eccentric (a) A series, (b) B series, (c) C series; double cantilever beams of $e = c/10$ eccentric, (d) A series, (e) B series, (f) C series)

Deney elemanları, sağdaki hareketli mesnetin oluşturduğu mesnetlenme şartının da etkisiyle, taşıyabilecekleri en büyük yüze ulaştıklarında, ani ve gevrek olarak, çatlağın çentik üstü bölgeyi kaplamasıyla kırılmaktadır. Bu nedenle yük-yerdeğişme eğrilerinde, en büyük yük sonrasında deney ani bir şekilde sonlandığından, yerdeğiştirme değerleri, en büyük yüze kadardır. Deney sonunda çift konsol deney elemanı, birbirinden tamamen kopuk iki ayrı konsol haline gelmektedir. Çift konsollar üzerindeki kırılma yüzeyinin, hemen hemen konsol eksene paralel bir hat üzerinde olması,

göçmenin, çekme gerilmelerinin etkisiyle, çekme gerilme yönüne dik yönde oluşan çekme çatlaklarından dolayı oluştuğunu göstermektedir. Bu durum, kırılma mekaniğinde Mod-I olarak tanımlanan açılma modu göçmesi durumudur. Bununla birlikte, elemanların göçme yüzeylerinin düzensiz eğrilikler gösterdiği gözlenmiştir. Bunun nedeni, heterojen bir yapı olan beton malzeme içindeki agregat ve rıjilik dağılımının farklı olması ve çatlağın, dayanımı düşük olan bölgelerden gereklidir. Bahsedilen bu durumları gösteren deney fotoğrafları, Şekil 8.'de görülmektedir.



Şekil 8. Deney fotoğrafları
(Photographs of experiment)

SONUÇLAR

Çalışmada elde edilen sonuçlar, aşağıda sıralanmıştır:

- 1- Deney elemanları, sağdaki hareketli mesnetin oluşturduğu mesnetlenme şartının da etkisiyle, taşıyabilecekleri en büyük yüke ulaştıklarında, ani ve gevrek olarak, çatlağın çentik üstü bölgeyi kaplamasıyla kırılmışlardır. Dolayısıyla bütün çift konsollu numunelerin göçmesi, çentiklerin ilerleyerek elemanların iki parçaya ayrılması ile olmuştur. Konsolları ayıran çatlağın konsol eksenlerine paralel olması, bunun, çekme gerilmelerine dik yönde gelişen bir çekme çatlağı olduğunu ve göçmenin çekme çatlakları nedeniyle oluştuğunu gösterir. Mod I göçmesi olarak isimlendirilen bu durum, tüm numune göçmelerinde aynı olduğundan, aynı göçme moduna sahip bu numune serilerine boyut etkisi denklemi uygulanabilir.
- 2- Numune boyutu arttıkça, deneysel (nominal) eğilme kesme gerilmesinin, elastisite teorisinden hesaplanan gerilmelere oranla azalığı görülmüştür. Bu durum, göz önüne alınan yükleme durumu ve eleman geometrisi için boyut etkisinin yüksek olduğunu gösterir.
- 3- Deney sonuçlarından elde edilen değerler Bazant'ın yaklaşık boyut etkisi yasası ile uyumludur. Çift konsolun basınç göçmesi için, boyut etkisi içeren yaklaşık [1] ve [2] bağıntıları, $e=c/5$ dışmerkezlikli elemanlarda $B=12$, $D_0=456$ mm ve $e=c/10$ dışmerkezlikli elemanlarda $B=17$, $D_0=92$ mm olmak üzere önerilebilir. Dışmerkezliğin azalması ile D_0 katsayılarının azalığı, dolayısıyla ϕ gevrekliğinin arttığı görülmektedir. Bu davranış biçimini, Şekil 6' da gösterilen boyut etkisi grafiklerinde, küçük dışmerkez yüklemesi altındaki elemanların LEKM davranışına daha çok yaklaşmış
- olmalarından da anlaşılmaktadır. B ve D_0 değişkenleri, eleman şekli, boyutu, malzeme türü ve yükleme durumuyla ilişkili olarak, çok farklı değerler alabilmektedir. Örnek olarak literatürdeki bazı çalışmalarında bulunan B ve D_0 değerleri şöyledir: 34,1 MPa dayanımlı betondan yapılmış, çentik boyunun kiriş yüksekliğine oranı 1/6, kiriş boyunun kiriş yüksekliğine oranı 2,7 ve kalınlığı 38,1mm olan üç nokta yüklemesine maruz kenar çentikli kırışlerde $B= 3,1$ $D_0= 70$ mm olarak bulunmuştur (Bazant ve Pfeiffer, 1987). Basınç yüklü, yükseklik ve çapları eşit silindir beton numunelerde, 33,3 MPa dayanımlı elemanlar için $B=1,3$ $D_0= 352$ mm; 23,6 MPa dayanımlı elemanlar için $B=1,1$ $D_0= 601$ mm olarak bulunmuştur (Martí, 1989). En büyük eleman boyutları 200×200×2080mm olan farklı narinlikli betonarme kolonlardan, 9,7 narinliğine sahip elemanlarda $B= 9,8$ $D_0= 1508$ mm; 18 narinliğine sahip betonarme kolonlarda $B= 13,2$ $D_0= 208$ mm; 34,7 narinliğine sahip elemanlarda $B=13,6$ $D_0= 168$ mm olarak bulunmuştur (Şener ve diğ. 2004).
- 4- Şekil 4 ve Şekil 5' de verilen yatay ve düşey yerdeğiştirme eğrileri incelendiğinde, her seri içindeki eleman boyutlarının azalmasının eleman sünek davranışa götürdüğünü görülür. Bu durum, boyut etkisinin sadece eleman boyutlarının artmasıyla yalnız göçme yüklerinde gözlenen bir azalma olmayıp, eleman davranışını da önemli ölçüde etkileyen bir öğe olduğunu göstergesidir.

TEŞEKKÜR

Bu çalışmanın yapılması için Gazi Üniversitesi'nden 06/2004–20 kodlu "Beton Basınç Göçmesinde Boyut Etkisi" isimli araştırma projesi desteği alınmıştır. Bu desteği sağlayan Gazi Üniversitesi'ne teşekkürü bir borç bilirim.

KAYNAKLAR

- ACI Committee 446, 1992, "Fracture Mechanics of Concrete: Concepts, Models and Determination of Material Properties", In Fracture Mechanics of Concrete Structures, Z.P. Bazant, Elsevier Applied Science, London, 1- 140.
- Anderegg, F.O., 1939, "Strength of glass fibre", Industrial Engineering Chemistry, 31, 290- 298.
- Bazant, Z.P., and Cao, Z., 1987, "Size effect in punching shear failure of slabs", ACI Structural Journal, 84(1), 44-53.
- Bazant, Z.P. and Pfeiffer, P.A., 1987, "Determination of fracture energy from size effect and brittleness number.", ACI Materials Journal, 84 (6), 463- 480.
- Bazant, Z.P., and Planas, J. 1998, "Fracture and size effect in concrete and other quasibrittle materials", CRC Press, Boca Raton, Fla.,452.
- Fischer H., Rentzsch W., and Marx R., 2002, "A modified size effect model for brittle nonmetallic materials", Engineering Fracture Mechanics, 69, 781-791.
- Hawkins, N.M., 1984, "The role for fracture mechanics in conventional reinforced concrete design", NATO workshop of Fract. Mech., Northwestern Univ., Eavaston, III.
- Koç, V., and Şener, S., 2003a, "Lifli Beton Çift Konsolun Basınç Göçmesinde Boyut Etkisi", Yapı Mekanığı Laboratuarları Toplantısı II, TÜBİTAK, Konya, 169-172.
- Koç V., and Şener S., 2003b, "Hafif ve normal betondan yapılmış çift konsol numunelerin basınç göçmesinde boyut etkisi", Türkiye İnşaat Mühendisliği XVII. Teknik Kongre ve Sergisi, 137-141, İstanbul.
- Koç V., and Şener S., 2004, "Eksenel doğrultuda basınç yüklü çift konsollarda boyut etkisi", Advances in Civil Engineering, 6th International Conference, Boğaziçi Ünv.,İstanbul, 531-540.
- Landis E.N., and Edwin N. N., 2000, "Three-dimensional work of fracture for mortar in compression", Engineering Fracture Mechanics, 65, 223-234.
- Marti, P., 1989, "Size effect in double- punch tests on concrete cylinders", ACI Materials Journal, 86: 597-601.
- Ozbolt, J., Mestrovic, D., Li, Y.J., and Eligehausen, R., 2000, "Compression failure of beams made of different concrete types and sizes", ASCE Journal of Structural Enginnering, 126 (2): 200-208.
- Şener, s., Barr, B.I.G., and Abusiaf, H.F., 1999a, "Size effect tests in unreinforced concrete columns", Magazine of Concrete Research, 51(1), 3-11.
- Şener, S., Bazant, Z.P., and Giraudon, E.B., 1999b, "Size effect tests of bond splices", ASCE, Journal of Structural Engineering, 125 (6), 653-660.
- Şener, S., Barr, B. I. G. and Abusiaf, H. F., 2004, "Size effect in axially loaded reinforced concrete Columns", Journal of Structural Engineering, 130 (4): 662- 670.
- Todhunter, I., and Pearson, K., 1986, "History of the theory of elasticity and of the strength of materials from Galileo to the present time", Cambridge University Press, 103-104.
- TS500, 2000, "Betonarme yapıların tasarım ve yapım kuralları ", Türk Standartları Enstitüsü, Ankara, 67.
- Weibull,W., 1939, "A statistical theory of strength of materials" Proc. Royal Swedish Academy of Engineering Sciences, 151, 1-45.